

УДК 519.642

С. Н. Касьянова, О. Е. Трофимов

(Новосибирск)

**КОМПЬЮТЕРНОЕ МОДЕЛИРОВАНИЕ  
АЛГОРИТМА ТРЕХМЕРНОЙ ТОМОГРАФИИ  
ДЛЯ ТРАЕКТОРИИ ИСТОЧНИКА,  
СОСТОЯЩЕЙ ИЗ ДВУХ ПЕРЕСЕКАЮЩИХСЯ ОКРУЖНОСТЕЙ**

Формулы обращения трехмерной томографической реконструкции, основанные на использовании преобразования Фурье лучевых данных в смысле обобщенных функций, представлены в виде, позволяющем упростить переход к дискретному варианту и составление программ. Приводятся результаты компьютерного моделирования.

В работах [1, 2] получены формулы обращения трехмерной томографической реконструкции. Однако построение численных алгоритмов непосредственно на основании этих формул затруднительно [3]. Дело, в частности, в том, что в них используется преобразование Фурье лучевых данных, понимаемое в смысле обобщенных функций. Классический интеграл Фурье для этих данных расходится. В [4, 5] приведены формулы обращения, использующие операции интегрирования и дифференцирования регулярных функций.

В настоящей работе приводится дальнейшее преобразование формул обращения, позволяющее упростить переход к дискретному варианту и составление программ. Приводятся результаты компьютерного моделирования.

Искомую функцию будем обозначать:  $f(x) = f(x_1, x_2, x_3)$ . Пусть источник движется по кривой  $\gamma(\lambda) = (\gamma_1(\lambda), \gamma_2(\lambda), \gamma_3(\lambda))$ , параметр  $\lambda$  пробегает некоторый интервал  $\Lambda$  действительной прямой.

Для интеграла от функции  $f(x)$  вдоль луча, проходящего через точку  $\gamma(\lambda)$  в направлении вектора  $\xi = (\xi_1, \xi_2, \xi_3)$ , будем использовать обозначение

$$g^+(\lambda, \xi) = \int_0^{\infty} f(\gamma(\lambda) + t\xi) dt.$$

Для функции  $g^+(\lambda, \xi)$  справедливо равенство

$$g^+(\lambda, \xi) = \frac{1}{|\xi|} g^+\left(\lambda, \frac{\xi}{|\xi|}\right) = \frac{1}{|\xi|} \int_0^{\infty} f\left(\gamma(\lambda) + t \frac{\xi}{|\xi|}\right) dt, \quad (1)$$

т. е. при фиксированном  $\lambda$  функция  $g^+(\lambda, \xi)$  полностью определяется своими значениями на единичной сфере  $|\xi| = 1$ .

Функция  $f(x)$ , имеющая финитный носитель, может быть восстановлена по функции  $g^+(\lambda, \xi)$  [2]:

$$f(x) = \int_0^{2\pi} \int_{-\pi/2}^{\pi/2} \cos\theta \frac{1}{2i\pi(\gamma'(\lambda), \beta)} \frac{\partial G^+(\lambda, \beta)}{\partial \lambda} d\theta d\varphi. \quad (2)$$

Функция  $G^+(\lambda, \beta)$  есть преобразование Фурье от функции  $g^+(\lambda, \xi)$  по переменной  $\xi$ ,  $\beta = \beta(\theta, \varphi) = (\cos\theta \cdot \cos\varphi, \cos\theta \cdot \sin\varphi, \sin\theta)$ , здесь  $\theta$  — угол между вектором и плоскостью  $z = 0$ ;  $\varphi$  — угол между проекцией вектора на плоскость  $z = 0$  и осью  $OX$ ;  $\lambda = \lambda(\theta, \varphi) = \lambda(x, \beta)$  такое, что скалярное произведение  $\langle \beta, x \rangle$  равно  $\langle \beta, \gamma(\lambda) \rangle$  и  $\langle \beta, \gamma'(\lambda) \rangle \neq 0$ . Предполагается, что такое значение  $\lambda$  существует для любого  $x$ , принадлежащего носителю функции  $f(x)$ , т. е. любая плоскость, пересекающая носитель функции, пересекает кривую  $\gamma(\lambda)$  так, что знаменатель в (2) не обращается в нуль. Примером такой кривой является совокупность двух единичных окружностей, лежащих во взаимно перпендикулярных плоскостях, если носитель лежит в единичном шаре. Следует отметить, что преобразование Фурье от функции  $g^+(\lambda, \xi)$ , понимаемое в обычном смысле:

$$G^+(\lambda, \sigma) = \int_{R^3} g^+(\lambda, \xi) e^{2i\pi(\sigma, \xi)} d\xi,$$

не существует, так как на бесконечности  $g^+(\lambda, \xi)$  имеет порядок  $1/|\xi|$ . Это связано с переходом от исходных данных, заданных на поверхности  $|\xi| = 1$ , к однородной функции, заданной во всем пространстве. В [2] преобразование Фурье понимается в смысле обобщенных функций. Чтобы использовать формулы типа (2) для построения алгоритмов, желательно иметь выражения для функций  $G^+$  и  $f$  через регулярную функцию  $g^+$ ; в работах [4, 5] получены такие выражения.

Формула (2) может быть записана в следующем виде:

$$f(x) = \frac{-1}{8\pi^2} \int_0^{2\pi} \int_{-\pi/2}^{\pi/2} \cos\theta \frac{1}{\langle \gamma'(\lambda), \beta \rangle} \frac{\partial}{\partial \lambda} \left[ \int_{S(\beta)} L(\beta, D) g^+(\lambda, \xi) \Omega(\xi) \right] d\theta d\varphi. \quad (3)$$

Здесь  $S(\beta)$  — окружность, являющаяся пересечением единичной сферы и плоскости  $P(\beta)$ . Плоскость  $P(\beta)$  проходит через начало координат и ортогональна вектору  $\beta$ . Символ  $\Omega(\xi)$  означает интегрирование по окружности, оператор  $L(\beta, D)$  — дифференцирование функции  $g^+(\lambda, \xi)$  в направлении вектора  $\beta$ :

$$L(\beta, D)g^+(\lambda, \xi) = \beta_1 \frac{\partial}{\partial \xi_1} g^+(\lambda, \xi) + \beta_2 \frac{\partial}{\partial \xi_2} g^+(\lambda, \xi) + \beta_3 \frac{\partial}{\partial \xi_3} g^+(\lambda, \xi),$$

при этом  $\lambda$ , зависящее от  $\beta$  и  $x$ , остается фиксированным. Как и выше,  $\beta = \beta(\theta, \varphi) = (\cos\theta \cdot \cos\varphi, \cos\theta \cdot \sin\varphi, \sin\theta)$ ;  $\lambda = \lambda(\theta, \varphi) = \lambda(x, \beta)$  такое, что скалярное произведение  $\langle \beta, x \rangle$  равно  $\langle \beta, \gamma(\lambda) \rangle$  и  $\langle \beta, \gamma'(\lambda) \rangle \neq 0$ .

В формуле (3) используются регулярные функции, и она пригодна для построения численных алгоритмов. Однако для упрощения составления программ эту формулу можно еще преобразовать. В частности, интегрирование по окружности  $S(\beta(\theta, \varphi))$  удобно заменить интегрированием по интервалу  $[0, 2\pi]$ . Для этого введем систему координат со следующими осями:

$$e_1 = (\sin\theta \cdot \cos\varphi, \sin\theta \cdot \sin\varphi, -\cos\theta) \quad (\text{ось } X_1);$$

$$e_2 = (-\sin\varphi, \cos\varphi, 0) \quad (\text{ось } Y_1);$$

$$e_3 = (\cos\theta \cdot \cos\varphi, \cos\theta \cdot \sin\varphi, \sin\theta) \quad (\text{ось } Z_1).$$

В новой системе координат ось  $Z_1$  совпадает с направлением вектора  $\beta$ , а оси  $X_1$  и  $Y_1$  лежат в плоскости  $P(\beta)$ , ортогональной вектору  $\beta$ , причем ось  $Y_1$  совпадает с пересечением плоскостей  $P(\beta)$  и  $z = 0$ . В системе координат

$(X_1, Y_1, Z_1)$  уравнение окружности  $S(\beta)$  имеет вид  $(\cos\omega, \sin\omega, 0)$ . Переходя от системы координат  $(X_1, Y_1, Z_1)$  к исходной  $(X, Y, Z)$ , получаем

$$\int_{S(\beta)} L(\beta, D)g^+(\lambda, \xi)\Omega(\xi) = \int_0^{2\pi} L(\beta, D)g^+(\lambda, \xi_1(\beta, \omega), \xi_2(\beta, \omega), \xi_3(\beta, \omega))d\omega,$$

где

напомним, что  $\beta$  есть функция величин  $\theta$  и  $\varphi$ .

Оператор  $L(\beta, D)$  можно переписать в виде

$$\begin{aligned} L(\beta, D)g^+(\lambda, \xi_1(\beta, \omega), \xi_2(\beta, \omega), \xi_3(\beta, \omega)) = \\ = \frac{\partial}{\partial t} g^+(\lambda, \xi_1(\beta, \omega) + t\beta_1, \xi_2(\beta, \omega) + t\beta_2, \xi_3(\beta, \omega) + t\beta_3) \Big|_{t=0}. \end{aligned} \quad (5)$$

Учитывая изложенное, получаем

$$\begin{aligned} \int_{S(\beta)} L(\beta, D)g^+(\lambda, \xi)\Omega(\xi) = \\ = \int_0^{2\pi} \frac{\partial}{\partial t} g^+(\lambda, \xi_1(\beta, \omega) + t\beta_1, \xi_2(\beta, \omega) + t\beta_2, \xi_3(\beta, \omega) + t\beta_3) \Big|_{t=0} d\omega, \end{aligned}$$

где

$$\begin{aligned} \xi_1(\beta, \omega) &= \sin\theta \cdot \cos\varphi \cdot \cos\omega - \sin\varphi \cdot \sin\omega; \\ \xi_2(\beta, \omega) &= \sin\theta \cdot \sin\varphi \cdot \cos\omega + \cos\varphi \cdot \sin\omega; \\ \xi_3(\beta, \omega) &= -\cos\theta \cdot \cos\omega; \\ \beta &= \beta(\theta, \varphi) = (\beta_1(\theta, \varphi), \beta_2(\theta, \varphi), \beta_3(\theta, \varphi)); \\ \beta_1(\theta, \varphi) &= \cos\theta \cdot \cos\varphi; \\ \beta_2(\theta, \varphi) &= \cos\theta \cdot \sin\varphi; \\ \beta_3(\theta, \varphi) &= \sin\theta. \end{aligned} \quad (6)$$

Для искомой функции  $f(x)$  находим

$$\begin{aligned} f(x) &= \frac{-1}{8\pi^2} \int_0^{2\pi} \int_{-\pi/2}^{\pi/2} \frac{\cos\theta}{(\gamma'_\lambda(\lambda(x, \theta, \varphi)), \beta(\theta, \varphi))} \times \\ &\times \frac{\partial}{\partial \lambda} \left[ \int_0^{2\pi} \frac{\partial}{\partial t} g^+(\lambda(x, \theta, \varphi), \xi(\beta(\theta, \varphi), \omega) + t\beta(\theta, \varphi)) \Big|_{t=0} d\omega \right] d\theta d\varphi, \end{aligned} \quad (7)$$

где  $\xi = (\xi_1, \xi_2, \xi_3)$  и  $\beta = (\beta_1, \beta_2, \beta_3)$  определяются по формулам (6); напомним, что  $(\gamma'_\lambda(\lambda(x, \theta, \varphi)), \beta(\theta, \varphi))$  — скалярное произведение векторов  $\gamma'_\lambda(\lambda(x, \theta, \varphi))$  и  $\beta(\theta, \varphi)$ .

Так как  $\lambda(x, \theta, \varphi)$  находится из условия  $(\gamma(\lambda(x, \theta, \varphi)), \beta(\theta, \varphi)) = (x, \beta(\theta, \varphi))$ , то для определения функции  $\lambda(x, \theta, \varphi)$  необходимо задать вид кривой  $\gamma$  — траектории движения источника.

Рассмотрим случай, когда  $\gamma$  состоит из двух окружностей. Носитель искомой функции и траектория движения источника должны быть согласованы, для них выполняется условие Кириллова — Туя [1, 2]: любая плоскость, пересекающая носитель функции, должна пересекать траекторию движения источника, причем в точке пересечения знаменатель в формуле (7) отличен от нуля. Обычно в качестве примера подходящей траектории берут две единичные окружности, лежащие во взаимно перпендикулярных плоскостях, а в качестве носителя — единичную сферу. Здесь будет рассмотрен более общий случай, соответствующий произвольному заданному углу  $\alpha$  между двумя плоскостями, содержащими траекторию источника. В качестве носителя в такой ситуации естественно рассматривать часть единичного шара, заключенную между плоскостями  $|z| = |\cos\alpha|$ . Такая схема позволяет исследовать слой объекта по координате  $Z$ . В классической компьютерной томографии плотность в этом направлении считается постоянной и производится сканирование с шагом  $\delta z$ . Для исследования объекта высотой  $h$  необходимо  $h/\delta z$  сканирований. При томографической реконструкции в конусе лучей необходимо произвести два сканирования, если выбрать угол  $\alpha$  из условия  $\cos\alpha = h/2$ . Траектория, состоящая из окружности и двух ортогональных к ней направляющих, рассмотрена в [6]. Отметим также, что условия Кириллова — Туя не являются необходимыми [7, 8], траектория может состоять из одной окружности, но при этом задача становится сильно неустойчивой [8].

Итак, пусть траектория источника состоит из двух окружностей, являющихся пересечением с единичной сферой плоскостей, проходящих через начало координат и имеющих векторы нормалей  $(p_1, p_2, p_3)$  и  $(q_1, q_2, q_3)$ . Координаты  $(t_1, t_2, t_3)$  точек пересечения траектории источника с плоскостью, проходящей через точку  $(x_1, x_2, x_3)$  и ортогональной вектору  $(v_1, v_2, v_3)$ , являются решением соответствующих систем уравнений.

Для первой плоскости:

$$\begin{aligned} t_1^2 + t_2^2 + t_3^2 &= 1; \\ t_1v_1 + t_2v_2 + t_3v_3 &= x_1v_1 + x_2v_2 + x_3v_3; \\ t_1p_1 + t_2p_2 + t_3p_3 &= 0. \end{aligned} \quad (8)$$

Для второй плоскости:

$$\begin{aligned} t_1^2 + t_2^2 + t_3^2 &= 1; \\ t_1v_1 + t_2v_2 + t_3v_3 &= x_1v_1 + x_2v_2 + x_3v_3; \\ t_1q_1 + t_2q_2 + t_3q_3 &= 0. \end{aligned} \quad (8')$$

В качестве первой плоскости естественно взять плоскость  $z = 0$  с вектором нормали  $(p_1, p_2, p_3) = (0, 0, 1)$ , для второй плоскости возьмем вектор нормали  $(q_1, q_2, q_3) = (0, -\sin\alpha, \cos\alpha)$ . При  $\alpha = 0$  первая и вторая плоскости совпадают, при  $\alpha = \pi/2$  вторая плоскость имеет уравнение  $y = 0$ .

Подставляя вместо вектора  $v$  вектор  $\beta(\theta, \varphi) = (\cos\theta \cdot \cos\varphi, \cos\theta \cdot \sin\varphi, \sin\theta)$ , получаем системы уравнений.

Для первой плоскости:

$$t_1^2 + t_2^2 = 1; \quad (9)$$

$$(\cos\theta \cdot \cos\varphi)t_1 + (\cos\theta \cdot \sin\varphi)t_2 = (\cos\theta \cdot \cos\varphi)x_1 + (\cos\theta \cdot \sin\varphi)x_2 + (\sin\theta)x_3.$$

Для второй плоскости:

$$\begin{aligned}
 t_1^2 + t_2^2 + t_3^2 &= 1; \\
 (\cos\theta \cdot \cos\varphi)t_1 + (\cos\theta \cdot \sin\varphi)t_2 + (\sin\theta)t_3 &= \\
 = (\cos\theta \cdot \cos\varphi)x_1 + (\cos\theta \cdot \sin\varphi)x_2 + (\sin\theta)x_3 &= \langle \beta(\theta, \varphi), x \rangle; \\
 (-\sin\alpha)t_2 + (\cos\alpha)t_3 &= 0.
 \end{aligned} \tag{10}$$

При создании программ для решения систем (9) и (10) необходимо учесть все особые случаи, связанные с делением на нуль. При построении численных алгоритмов необходимо также использовать приемы регуляризации при делении на малые величины.

Шаг 1. Делаем попытку найти положение источника при решении системы (9).

1. Если  $\pi/2 - |\theta| < \delta\theta$ , то следует перейти к системе (10).

*Примечание.* Деление на нуль в системе (9) может происходить при  $\cos\theta = 0$  ( $|\theta| = \pi/2$ ), однако при построении численных алгоритмов в реальных ситуациях к системе (10) следует переходить при выполнении условия  $\pi/2 - |\theta| < \delta\theta$ , где  $\delta\theta$  — параметр, зависящий от уровня помех. В простейшем случае его можно положить равным шагу решетки по  $\theta$  при вычислении интеграла в (7).

2. Если  $\pi/2 - |\theta| \geq \delta\theta$  и  $|\cos\varphi| > |\sin\varphi|$ , то из второго уравнения (9) находим

$$t_1 = (\langle \beta(\theta, \varphi), x \rangle - (\cos\theta \cdot \sin\varphi)t_2) / (\cos\theta \cdot \cos\varphi),$$

и, подставляя это выражение в первое уравнение системы (9), получаем уравнение для  $t_2$ .

3. Если  $\pi/2 - |\theta| \geq \delta\theta$  и  $|\cos\varphi| \leq |\sin\varphi|$ , то из второго уравнения (9) находим

$$t_2 = (\langle \beta(\theta, \varphi), x \rangle - (\cos\theta \cdot \cos\varphi)t_1) / (\cos\theta \cdot \sin\varphi),$$

и, подставляя это выражение в первое уравнение системы (9), получаем уравнение для  $t_1$ .

4. Если уравнение, полученное в п. 2 или 3, не имеет решения, переходим к системе (10).

5. Если уравнение имеет решение, то полагаем

$$\lambda = \begin{cases} \arccos(t_1), & \text{если } t_2 \geq 0; \\ 2\pi - \arccos(t_1), & \text{если } t_2 < 0. \end{cases}$$

6. Проверка условия трансверсальности  $\langle \gamma'(\lambda(x, \theta, \varphi)), \beta(\theta, \varphi) \rangle \neq 0$ .

Если  $|\sin\lambda(\cos\theta \cdot \cos\varphi) + \cos\lambda(\cos\theta \cdot \sin\varphi)| \leq \delta\text{tr}$ , то переходим к решению системы (10).

Если  $|\sin\lambda(\cos\theta \cdot \cos\varphi) + \cos\lambda(\cos\theta \cdot \sin\varphi)| > \delta\text{tr}$ , то решение найдено. Здесь  $\delta\text{tr}$  — параметр регуляризации для условия трансверсальности.

Шаг 1 закончен.

Шаг 2. Определение положения источника из системы (10).

При выполнении шага 2 будем считать, что  $\alpha \neq 0$ . Напомним, что  $\alpha$  — угол между плоскостями, в которых лежит траектория источника.

Из третьего уравнения в (10) получаем  $t_2 = t_3 \text{ctg}\alpha$ . Подставляя это выражение во второе уравнение, находим

$$(\cos\theta \cdot \cos\varphi)t_1 + (\sin\theta + \cos\theta \cdot \sin\varphi \cdot \text{ctg}\alpha)t_3 = \langle \beta(\theta, \varphi), x \rangle.$$

1. Если  $\max(|\cos\theta \cdot \cos\varphi|, |\sin\theta + \cos\theta \cdot \sin\varphi \cdot \operatorname{ctg}\alpha|) < \delta\theta$ , то прекращаем поиск решения. Это условие аналогично условию  $\pi/2 - |\theta| \geq \delta\theta$  при решении системы (9). При выборе параметра регуляризации учтено, что  $\cos(\pi/2 - \delta\theta) \cong \delta\theta$  при малых  $\delta\theta$ .

2. Если  $|(\sin\theta) + (\cos\theta \cdot \sin\varphi)\operatorname{ctg}\alpha| \geq |\cos\theta \cdot \cos\varphi|$ , то полагаем

$$t_3 = ((\beta(\theta, \varphi), x) - (\cos\theta \cdot \cos\varphi)t_1)/(\sin\theta + \cos\theta \cdot \sin\varphi \cdot \operatorname{ctg}\alpha),$$

и, подставляя это выражение в первое уравнение (10), приходим к уравнению относительно  $t_1$ , решив которое, находим  $t_1$ , затем  $t_3$ .

3. Если  $|(\sin\theta) + (\cos\theta \cdot \sin\varphi)\operatorname{ctg}\alpha| < |\cos\theta \cdot \cos\varphi|$ , то полагаем

$$t_1 = ((\beta(\theta, \varphi), x) - (\sin\theta + \cos\theta \cdot \sin\varphi \cdot \operatorname{ctg}\alpha)t_3)/(\cos\theta \cdot \cos\varphi),$$

и, подставляя это выражение в первое уравнение (10), приходим к уравнению относительно  $t_3$ , из него находим  $t_3$ , затем вычисляем  $t_1$ .

4. Если уравнение, полученное в п. 2 или 3, не имеет решения, выполнение шага заканчивается, на данном шаге решение не найдено.

5. Если решение найдено, то представляем его в параметрическом виде  $t_1 = \cos\lambda$ ,  $t_2 = \cos\alpha \cdot \sin\lambda$ ,  $t_3 = \sin\alpha \cdot \sin\lambda$  и находим  $\lambda$ :

$$\lambda = \begin{cases} \arccos(t_1), & \text{если } t_2 \geq 0; \\ 2\pi - \arccos(t_1), & \text{если } t_2 < 0. \end{cases}$$

6. Проверка условия трансверсальности  $\langle \gamma'(\lambda(x, \theta, \varphi)), \beta(\theta, \varphi) \rangle \neq 0$ .

Если  $(\cos\lambda(\cos\theta \cdot \cos\varphi) + \cos\alpha \cdot \sin\lambda(\cos\theta \cdot \sin\varphi) - \sin\alpha \cdot \sin\lambda(\sin\theta)) \geq \delta\theta$ , то решение найдено.

Шаг 2 закончен.

Шаг 2 необходимо выполнять, если решение не найдено на шаге 1. Для повышения помехоустойчивости можно использовать алгоритмы, при которых в любом случае выполняются оба шага, а затем среди полученных решений выбирается положение источника с заданными свойствами, например, с наименьшим расстоянием от исследуемой точки объекта или с наибольшим значением модуля величины, получаемой при проверке условия трансверсальности.

Отметим, что внутри каждого шага также может быть не единственное решение. Это связано с тем, что в общем положении прямая пересекается со сферой в двух точках.

Если исследуемые точки  $(x, y, z)$  удовлетворяют условиям  $x^2 + y^2 < 1$ ,  $|z| < \cos\alpha$ , то, по крайней мере, на одном из шагов будет найдено решение. Как обычно, в реальных ситуациях желательно выбирать размеры допустимого носителя так, чтобы исследуемый объект помещался в нем с запасом.

Возможен также способ решения систем (9) и (10) и определения значения  $\lambda$ , непосредственно использующий параметрическое представление окружностей, из которых состоит траектория источника.

Полагая в системе (9)  $t_1 = \cos\lambda$ ,  $t_2 = \sin\lambda$ , приходим к уравнению относительно  $\lambda$ :

$$\cos\theta \cdot \cos(\varphi - \lambda) = (\cos\theta \cdot \cos\varphi)x_1 + (\cos\theta \cdot \sin\varphi)x_2 + (\sin\theta)x_3. \quad (11)$$

Если решение уравнения (11) отсутствует, то необходимо перейти к системе (10).

Если положить  $t_1 = \cos\lambda$ ,  $t_2 = \cos\alpha \cdot \sin\lambda$ ,  $t_3 = \sin\alpha \cdot \sin\lambda$ , то в (10) выполняются равенства (1) и (3). Напомним, что  $\alpha$  — угол между плоскостями, в которых лежит траектория источника. Таким образом, от системы (10) приходим к уравнению относительно  $\lambda$ :

$$\begin{aligned} & (\cos\theta \cdot \cos\varphi)\cos\lambda + (\cos\theta \cdot \sin\varphi \cdot \cos\alpha + \sin\theta \cdot \sin\alpha)\sin\lambda = \\ & = (\cos\theta \cdot \cos\varphi)x_1 + (\cos\theta \cdot \sin\varphi)x_2 + (\sin\theta)x_3. \end{aligned} \quad (12)$$

Пару чисел  $(\cos\theta \cdot \cos\varphi, \cos\theta \cdot \sin\varphi \cdot \cos\alpha + \sin\theta \cdot \sin\alpha)$  представим как комплексное число  $(\cos\theta \cdot \cos\varphi + i(\cos\theta \cdot \sin\varphi \cdot \cos\alpha + \sin\theta \cdot \sin\alpha))$ . Используя тригонометрическую форму комплексных чисел  $(\cos\theta \cdot \cos\varphi + i(\cos\theta \cdot \sin\varphi \cdot \cos\alpha + \sin\theta \cdot \sin\alpha)) = r(\cos\nu + i\sin\nu)$ , приходим к уравнению

$$r\cos(\nu - \lambda) = (\cos\theta \cdot \cos\varphi)x_1 + (\cos\theta \cdot \sin\varphi)x_2 + (\sin\theta)x_3, \quad (13)$$

здесь  $r^2 = (\cos\theta \cdot \cos\varphi)^2 + (\cos\theta \cdot \sin\varphi \cdot \cos\alpha + \sin\theta \cdot \sin\alpha)^2$  — модуль;  $\nu = \arg(\cos\theta \cdot \cos\varphi + i(\cos\theta \cdot \sin\varphi \cdot \cos\alpha + \sin\theta \cdot \sin\alpha))$  — аргумент комплексного числа  $\cos\theta \cdot \cos\varphi + i(\cos\theta \cdot \sin\varphi \cdot \cos\alpha + \sin\theta \cdot \sin\alpha)$ .

Выражения для вычисления  $\nu(x_1, x_2) = \arg(x_1 + ix_2)$  имеют вид:

$$\begin{aligned} & \text{если } x_1 = 0 \text{ и } x_2 = 0, & \nu = 0; \\ & \text{если } x_1 = 0 \text{ и } x_2 > 0, & \nu = \pi/2; \\ & \text{если } x_1 = 0 \text{ и } x_2 < 0, & \nu = \pi 3/2; \\ & \text{если } x_1 > 0 \text{ и } x_2 \geq 0, & \nu = \arctg(x_2/x_1); \\ & \text{если } x_1 > 0 \text{ и } x_2 < 0, & \nu = 2\pi + \arctg(x_2/x_1); \\ & \text{если } x_1 < 0, & \nu = \pi + \arctg(x_2/x_1). \end{aligned}$$

(Предпоследняя строчка приведена для того, чтобы получить угол  $\nu$  в пределах от 0 до  $2\pi$ .)

Итак, нам необходимо найти  $\lambda$  либо из уравнения (11), либо из уравнения (13). В уравнениях (11) и (13) особого рассмотрения требуют случаи  $\cos\theta = 0$  и  $r = 0$ . Отметим, что если  $\alpha \neq 0$ , то  $\cos\theta$  и  $r$  не могут быть равны нулю одновременно. При  $\alpha \neq 0$  плоскости, которым принадлежит траектория источника, не совпадают. Уравнение (11) можно рассматривать как частный случай (13) при  $\alpha = 0$ , но для сокращения времени счета их удобно рассматривать отдельно. Оба уравнения имеют вид:  $r\cos(\nu - \lambda) = d$ ; нас интересуют решения  $\lambda$ , принадлежащие интервалу  $[0, 2\pi)$ . Так как функция  $\cos\lambda$  четная, то может быть два решения (обозначим их  $\lambda_1(r, d, \nu)$  и  $\lambda_2(r, d, \nu)$ ). Функции  $\lambda_i$  можно записать в явном виде следующим образом:

$$\begin{aligned} & \text{если } r = 0 \text{ и } d \neq 0, & \lambda_i(r, d, \nu) \text{ не определено } (i = 1, 2); \\ & \text{если } |d/r| > 1, & \lambda_i(r, d, \nu) \text{ не определено } (i = 1, 2); \\ & \text{если } r = 0 \text{ и } d = 0, & \lambda_i(r, d, \nu) = 0 \text{ } (i = 1, 2); \\ & \text{если } r \neq 0 \text{ и } |d/r| \leq 1, & \text{полагаем } \gamma = \arccos(d/r); \\ & \text{если } \nu + \gamma \leq 2\pi, & \lambda_1(r, d, \nu) = \nu + \gamma; \\ & \text{если } \nu + \gamma > 2\pi, & \lambda_1(r, d, \nu) = \nu + \gamma - 2\pi; \\ & \text{если } \nu - \gamma \geq 0, & \lambda_2(r, d, \nu) = \nu - \gamma; \\ & \text{если } \nu - \gamma < 0, & \lambda_2(r, d, \nu) = \nu - \gamma + 2\pi. \end{aligned}$$

Случай неопределенных  $\lambda_i$  соответствует отсутствию решения; отметим также, что  $0 \leq \nu < 2\pi$  и  $0 \leq \gamma \leq \pi$ .

Для решения уравнения (11) необходимо вычислить  $\lambda_i(\cos\theta, d, \varphi)$ , для решения уравнения (13) —  $\lambda_i(r, d, \nu)$ , где

$$d = (\cos\theta \cdot \cos\varphi)x_1 + (\cos\theta \cdot \sin\varphi)x_2 + (\sin\theta)x_3;$$

$$r^2 = (\cos\theta \cdot \cos\varphi)^2 + (\cos\theta \cdot \sin\varphi \cdot \cos\alpha + (\sin\theta)\sin\alpha)^2;$$

$$\nu = \arg(\cos\theta \cdot \cos\varphi + i\cos\theta \cdot \sin\varphi \cdot \cos\alpha + (\sin\theta)\sin\alpha).$$

Отметим, что не все решения уравнений (11) и (13) являются решениями исходных систем (9) и (10), для выбора между  $\lambda_1$  и  $\lambda_2$  необходимо использовать вторые уравнения в (9) и (10).

Резюмируя изложенное выше, получаем следующую схему счета для восстановления искомой функции в заданной точке  $x = (x_1, x_2, x_3)$ . Для вычислений по формуле (7) организуем двойной цикл по  $\theta$  и  $\varphi$ . Фиксированные  $\theta$  и  $\varphi$  определяют точку на единичной сфере и соответствующий ей вектор  $\beta(\theta, \varphi)$ . Используя один из приведенных выше алгоритмов, находим точку пересечения плоскости  $P(x, \beta)$  с траекторией источника и соответствующее этой точке значение параметра  $\lambda$ . При найденном  $\lambda$  с использованием формулы (6) получим в (7) производную по  $t$ , интеграл по  $\alpha$  и производную по  $\lambda$ . При вычислении производных могут быть применены различные приемы регуляризации. После умножения на соответствующие коэффициенты получаем вклад в решение, соответствующий заданным  $\theta$  и  $\varphi$ . Суммируя вклады, соответствующие различным  $\theta$  и  $\varphi$ , находим полное решение.

В реальных ситуациях известно некоторое конечное множество исходных данных. Это приводит к некоторой модификации приведенных выше формул обращения. Как правило, окружности, по которым движется источник, делятся на  $N$  равных частей, и источник может находиться только в точках вида  $\lambda_k = k(2\pi/N)$  ( $k = 0, \dots, N - 1$ ); поэтому, определив  $\lambda$  по формулам, приведенным выше, необходимо найти величину  $(2\pi/N)[\lambda/N]$  — левую границу интервала, в который попадает  $\lambda$ . Здесь  $[\lambda/N]$  — целая часть  $\lambda/N$ . При вычислении производной по  $\lambda$  необходимо сдвинуться в соседнюю точку решетки.

Окружности имеют общие точки  $(1, 0, 0)$  и  $(-1, 0, 0)$ . Искомую точку пересечения с плоскостью нужно считать лежащей на той окружности, которая пересекается с текущей плоскостью под большим углом. Если текущий вектор  $\beta(\theta, \varphi)$  ближе к оси  $Z$ , то при вычислении производной по  $\lambda$  нужно сдвигаться по второй наклонной окружности. Если текущий вектор  $\beta(\theta, \varphi)$  ближе к вектору  $(0, \sin\alpha, \cos\alpha)$  — направляющему вектору плоскости, в которой лежит наклонная окружность, то при вычислении производной по  $\lambda$  следует сдвигаться в плоскости  $z = 0$ .

На рис. 1 приведены результаты компьютерного моделирования трехмерной томографической реконструкции с использованием приведенных выше формул. Восстанавливался однородный шар радиуса 0,5 с внутренней шаровой полостью радиуса 0,1. Две окружности, составляющие траекторию источника, имели единичный радиус и лежали во взаимно ортогональных плоскостях. Шаг дискретизации при движении источника  $\delta\lambda = 2\pi/1000$  — тысяча положений источника на окружности. Моделировался тот случай, когда исходными данными являются значения функции  $g^+(\lambda, \xi)$ , заданные на поверхности единичной сферы с равномерными шагами по углам  $\theta$  и  $\varphi$ . Шаги дискретизации в формуле (7):  $\delta\alpha = 2\pi/256$ ,  $\delta\theta = \pi/200$ ,  $\delta\varphi = 2\pi/200$ ,  $\delta t = 0,0001$ . Функция восстанавливалась в сечениях, параллельных плоскости  $z = 0$ , с шагом  $\delta x = \delta y = 0,01$ .

На рис. 1 представлены результаты счета в зоне дефекта для нескольких сечений, отчетливо показывающие изменение размеров дефекта по оси  $z$ . Проведенные нами численные эксперименты показали, что при указанных значениях параметров качество восстановления не очень сильно зависит от места расположения дефекта. Полость с центром в точке  $(0; 0; 0)$  восстанавливается практически так же, как полость того же радиуса с центром в



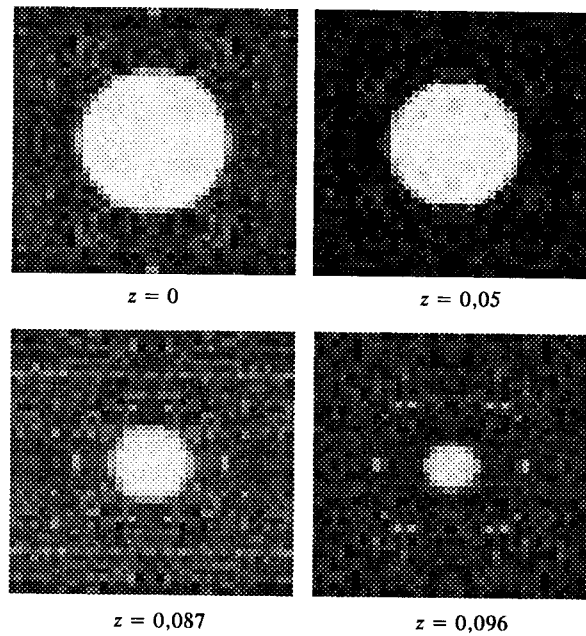
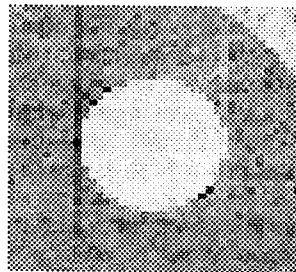


Рис. 1

точке  $(0,2; 0,2; 0)$  (рис. 2). Разумеется, ситуация может существенно измениться, если дефект выйдет на границу объекта. Но во многих практических ситуациях задача заключается в обнаружении дефектов, находящихся на достаточной глубине.

Напомним, что при использовании двумерного преобразования Радона каждому сечению должно соответствовать сканирование по соответствующей окружности в отличие от двух окружностей в рассматриваемом случае.

Следует отметить, что сфера является достаточно жестким объектом для предварительного тестирования алгоритмов трехмерной томографии. Дело в том, что в формулах обращения по лучевым данным насчитывается преобразование Радона в трехмерном пространстве (интегралы по плоскостям), а затем используются известные формулы обращения этого преобразования. В формуле обращения преобразования Радона в трехмерном пространстве нужна вторая производная интегралов по плоскостям. Объект должен иметь достаточно гладкие границы. У шара в граничных точках разрывна даже первая производная. Формулы обращения преобразования Радона, понимаемые в классическом смысле, здесь не применимы. В дискретном случае фактически используется аппроксимация данных, что приводит к регуляризации и сглаживанию эффекта разрывности, однако отсутствие гладкости может быть одной из причин артефактов. В проведенных численных экспериментах использовалась ступенчатая аппроксимация. При больших уровнях шумов и могут быть использованы хорошо разработанные регуляризаторы дифференцирования, являющегося здесь основным источником неустойчивости. Дифференцировать приходится дважды, но по разным переменным, что несколько упрощает ситуацию.



$z = 0$

Рис. 2

При восстановлении плотности объектов, наряду с формулами обращения, целесообразно использовать и методы обработки изображений, как это делается в двумерной томографии.

Рассмотренный алгоритм основан на преобразовании формул обращения к такому виду, в котором используются операции с регулярными функциями. Возможны и другие подходы к построению алгоритмов, в частности основанные на использовании канонических регуляризаций соответствующих обобщенных функций [9, 10]. Формулы обращения, позволяющие создавать численные алгоритмы трехмерной томографической реконструкции, содержатся также в [11, 12].

Известные к настоящему времени выводы формул обращения основаны на близких идеях. В непрерывном варианте получаемые формулы обычно эквивалентны. Однако при построении численных алгоритмов различия могут иметь существенное значение. В этой связи представляется целесообразным построение численных алгоритмов на основании различных видов формул обращения с последующим их сравнением между собой.

#### СПИСОК ЛИТЕРАТУРЫ

1. Кириллов А. А. Об одной задаче И. М. Гельфанда // ДАН СССР. 1961. 137, № 2. С. 276.
2. Tuy H. K. An inversion formula for cone-beam reconstruction // SIAM J. Appl. Math. 1983. 43, N 3. P. 546.
3. Наттерер Ф. Математические аспекты компьютерной томографии. М.: Мир, 1990.
4. Денисюк А. С. Исследование по интегральной геометрии в вещественном пространстве: Дис. ... канд. физ.-мат. наук. М.: МГУ, 1991.
5. Трофимов О. Е. К задаче восстановления функции по ее интегралам вдоль прямых, пересекающих заданную кривую // Методы решения условно-корректных задач. Новосибирск: ИМ СО АН СССР, 1991.
6. Zeng G. L., Clark R., Gullberg G. T. Implementation of Tuy's cone beam inversion formula // International Meeting on Fully Three-Dimensional Image Reconstruction in Radiology and Nuclear Medicine. Snowbird, Utah, USA, 1993. P. 65.
7. Благовещенский А. С. О восстановлении функции по известным интегралам от нее, взятым вдоль линейных многообразий // Математические заметки. 1986. 39, № 6. С. 841.
8. Finch D. V. Cone beam reconstruction with sources on a curve // SIAM J. Appl. Math. 1985. 45, N 4. P. 665.
9. Smith B. D. Cone-beam tomography: recent advances and tutorial review // Opt. Eng. 1990. 29, N 5. P. 524.
10. Трофимов О. Е. Correlation of two methods of cone beam reconstruction // J. Syst. Anal. Model. Simulat. 1995. 18. P. 169.
11. Гельфанд И. М., Гончаров А. Б. Восстановление финитной функции, исходя из ее интегралов по прямым, пересекающим данное множество точек в пространстве // ДАН СССР. 1986. 290, № 5. С. 1037.
12. Rizo P., Grangeat P., Sire P. et al. Comparison of two three-dimensional x-ray cone-beam-reconstruction algorithms with circular source trajectories // JOSA. A. 1991. 8, N 10. P. 1639.

*Поступила в редакцию 28 июня 1996 г.*